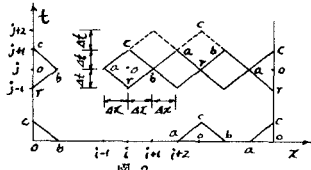
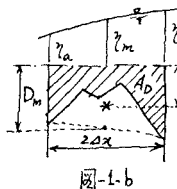
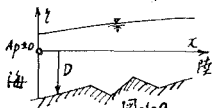


V-38 不規則河道における高潮水流計算の一方法(等積平均)と検算

建設省土木研究所 正員 王方一
(WANG, Fang-yi)

0] まえがき：高潮水流の計算法は古くから多くの人々によって提案されて来たが、實際への適用上障害には多くの制約がある。河底・河中の形状はもとより、河口での水位・流速を数式のようにきれいではなく、調和解析のような方法は一般性を帯びない。特性曲線(影響線)に沿う数値積分法は境界条件の莫大な彈力性があるが、計算過程では便利な圖表を用いても試算はやはり試算である。影響線の変化を考慮して時間間隔 Δt を固定し近似的求める方法もあるが、計算点の数・変断面水路への应用などを考えてやはり相当手数がかかる。本文では計算の早い、運動式と連続式とを交互に用いる方式で、階差式で計算式を導き流速・水位の代りに流量・水位について整理した。(兩端流量の平均値の實質的区間平均に対する接近度が流速のそれよりも高いことを考慮して)また河道形状の不規則性を等積平均法で處理し、従来の区間兩端の算術平均による欠点の改善を行った。最後に隅田川での観測資料に基づいて検算して見た。

1]. 計算式と計算法：



座標は図-1-aのよう取り、一次元、横流入のないときを考え先ず断面を矩形とし基礎式は

$$B \frac{\partial^2 U}{\partial t^2} + \frac{\partial Q}{\partial x} = 0 \quad (A), \quad \frac{\partial U}{\partial t} + U \frac{\partial U}{\partial x} + g \frac{\partial^2}{\partial x^2} + f U U \dots (B)$$

を用いる。 $(U: \text{断面平均流速}, \gamma: \text{水位}, R: \text{河床半径}, f: \text{摩擦係数})$

$Q: \text{流量}$ 。図-2の實線菱形には運動式(B)の中央型階差商を、

実線菱形には連続式(A)のそれを通用し、 $|Q_a|, |Q_b| \neq |Q_r|, |Q_c|$ にて頂点\$c\$の要素を求める。

A): 連続式を用いる区間 $a \triangleleft b$: $\begin{cases} \gamma_c = \gamma_r - \frac{2\gamma_{ab}}{B_{ab}} (Q_b - Q_a) \dots (1) \\ Q_c = Q_a + Q_b - Q_r \dots \dots \dots (2) \end{cases}$

こ、に B_{ab} : 区間 ab の等積平均中、 $\gamma_{ab} = \frac{\gamma_a + \gamma_b}{2}$ 。

Δx がされば Δt は $\Delta t < \frac{\Delta x}{(U + \sqrt{gh})_{\max}}$ であるようにされる。

B): 運動式を用いる区間 $a \triangleleft b$: $\begin{cases} \gamma_c = \gamma_a + \gamma_b - \gamma_r \dots \dots \dots (3) \\ i. (B) \text{式で } U \frac{\partial U}{\partial x} \text{ を有効するとき: } \begin{cases} Q_c = Q_r - 2g \gamma_{ab} (\gamma_b - \gamma_a) - R_{ox} * 1Q_m / A_{ox} - Q_m \left(\frac{A_{ox}}{A_{ox}} - \frac{A_{rx}}{A_{rx}} \right) \dots (4) \end{cases} \end{cases}$

こ、に D_{ab} は ab 間の D の等積平均値(図-1-b)、添字*は D_{ab} と B_{ab} を用いて算出する値。例えれば $R_{ox} = \gamma_m + 1D_{ab}/(D_{ab} + 1)$ (D_{ab} が(4)の時は $= \gamma_m - 1D_{ab}/1$)、 $A_{ox} = B_{ab}(\gamma_m + 1D_{ab}/1)$ 、 $R_{rx} = 4t g n^2 (\gamma_m + 1D_{ab}/1)^{-1/2}$ 、添字mはcとr(またはaとb)の値、算術平均。諸式の右辺は既知、(4)式は直接 Q_c を求めることであるが、 $U_{cx} = \frac{U_{rx} - 2g \gamma_{ab} (\gamma_b - \gamma_a)}{1 + 2R_{ox}/|U_{rx}|} \dots (4a)$ で U_{cx} を求めて後

$Q_c = U_{cx} A_{cx} \dots (4)$ で出しても大差はない。 U_{cx} と U_{rx} は假想的なもので、實際の流速 U は Q_c をその地盤の實断面積 $A_c = B_c(\gamma_c + D_c)$ で割って求められる。初期計算に際しては Q_r と U_{rx} はないから $Q_r = 2Q_o - Q_c$ または $U_{rx} = 2U_{ox} - U_{cx}$ を代入して Q_c または U_{cx} をもう一度出せばよい。また境界点における三角形区間では既知の條件の種類を考えて連続式または運動式を通用して求める。計算は $t_{j-1} \sim t_{j+1}$ の間を終えてのち $t_j \sim t_{j+2}$ へ進み、予め河道

の既知値と常用関数、圖表を作成すれば便利である。

i) (B)式の全項を入れると、

$$Q_c = Q_r - 2g C_{ab} (z_b - z_a) - k_{ox} \left(Q_m / A_{ox} \right) - Q_m \left(\frac{A_{ox}}{A_{ox}} - \frac{A_{ox}}{A_{ox}} \right) - 2 C_{ab} Q_m \left(\frac{Q_m}{A_{ox}} - \frac{Q_m}{A_{ox}} + \frac{Q_b - Q_a}{A_{ox}} \right) \dots (5)$$

$$\text{または } Q_c = A_{cx} U_{cx} = A_{cx} \frac{U_{rx} - 2g C_{ab} (z_b - z_a) - C_{ab} U_{rx} (U_{bx} - U_{ax})}{1 + 2 k_{ox} / U_{rx} + (U_{bx} - U_{ax})} \dots (5')$$

(5)式の末項、(5')式の分子。分母の最後の括弧内は $U \frac{\partial U}{\partial x}$ よりの派生であるから * をつける値を用いても、 Q_c には大きく影響しないと想像される。

自然河道に対しては一定の水位差にに対する区間内の水柱容積が $2\alpha \Delta A_x$ に等しく、 D_{ab} を底とする假想中間断面の $z-A_x$ 曲線を作れば上にあげた式は近似的に用いても差支えないが（ α の際 α は (1) 式の代りに $A_{cx} = A_{rx} - 2 C_{ab} (Q_b - Q_a) \dots (1)'$ で A_{cx} を求め後求める）、一層の工夫が望ましい。

3] 隅田川での観測資料による验算： 玄関橋 ($x=4857.71m$; $x=0$ は永代橋より海側へ $30m$ の所における) と小台橋 ($x=14183.71m$) の間に約 $3100m$ の等しい 3 区間にわけ、14 時を初期時刻といふ 2 時間にわたって、(1)(2)(3) と (4) 式で验算した。^{*} この区間は河底も河中も共に変化が大きく、 $z=6275m^2$; $D=2.1m$ (等価矩形断面の底辯), $B=184m$; $X=9767.74m^2$; $D=3.18m$, $B=94m$; $12500m^2$; $1.35m$, $B=178m$ になっている。全体ではこれら諸条件を通過する直線で囲まれた河道と見做すことが出来た。これらの屈折率は計算区分共に一致しない。验算に使う大体の粗度俢数は次のようになめた。短い区間での水面勾配は複雑と極め (主として量水標の基準の不正確さ、支川・クリークの局部流入の影響による想像され), 区間別の信頼度上来了粗度があらわして流れの最盛時を選び、各々 $20km$ をわたる水面形を等高勾配で處理し、中英流量、中英水位、および等容積河道の中央断面で算出する平均流速 U_m などを用いて次の諸式で算出した。

$$n = \sqrt{(I_1 + I_2 + I_3)K}, \quad n' = \sqrt{(I_1 + I_2)K}, \quad n'' = \sqrt{I_1 K}; \quad \text{ここで } K = R_m \frac{d}{U_m U_m}, \quad I_1 = \frac{\partial z}{\partial x}, \quad I_2 = \frac{1}{g} \frac{\partial U}{\partial t}, \quad I_3 = \frac{U d U}{g x^2}.$$

流向	陸→海		海→陸			
	時	9	10	11	15	16
n	0.0236	0.0210	0.0230	0.0231	0.0236	
n'	0.0235	0.0207	0.0228	0.0227	0.0224	
n''	0.0242	0.0215	0.0224	0.0225	0.0230	

表 1

結果は表 1 の通りで、验算は 14 時以後の逆流時を選んでいたから $N = \frac{N_{15} + N_{16}}{2} = 0.0228$ を用いた。計算結果は図 3, 図 4 に示されており、曙町と三河島は验算区間の 3 等分点に近く位置し、後者の中は $111m$ である。——は實測水位、---は計算水位と連続式と追跡した流量、—○—は追跡流量とその断面積で

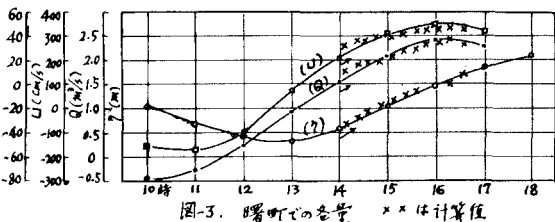


図 3. 曙町での各量 × × は計算値

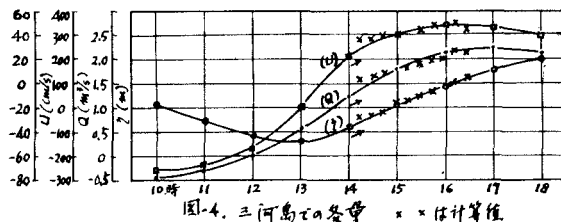


図 4. 三河島での各量 × × は計算値

求めた流速、××は本文の方法で計算した値である。水位の一致度は高いが流速の相違は $5cm/s$ 程度である。他の方法との比較、 n の変化による影響、全項を入れた場合などは別途機会に譲る。

4]. 緒論：この方法は断面変化の大きさによって他の條件で許された最大区間を使用するが、其の計算速度は他の手動的計算よりも早い。この小文の提出は海岸研究室細井宣長、高木技官の助けてよろるので、数値計算の大半は日大學生松井・鈴木兩君に頼むことにした。

文献：1] Dronkers and Schonfeld: < Tidal computations in shallow water >, proc. A.S.C.E. No.714, 84-2, 1955

2] Stoker, J.J.: < water waves >, New York, 1957, 811-5.

3] Schonfeld, E: < Anwendung des "Differenzenverfahrens" bei der Tidewellenberechnung in den von den Gezeiten beeinflussten Flüssen >, Der Bauingenieur, 34 Jg (1959) H. 6

山上 (1960-3-25)